

「すざく」で観測した降着型天体における熱的コンプトン過程の系統的解析が

牧島一夫(東大理/理研), Zhongli Zhang, 野田博文, 鳥井俊輔, 櫻井壮希, 小林翔悟, 小野光, 中澤知洋 (東大理), 杉崎睦, 山田真也(理研)

SSS14 P3-4

§1. はじめに:熱的コンプトン散乱 (ThCS) 過程

- 降着する中性子星(NS)やブラックホール(BH)では、降着流の熱化で発生する温度 T_o の軟光子が、温度 $\frac{T_o}{O}$ の「高温電子雲」で散乱され高エネルギーを 獲得する、熱的コンプトン散乱 (ThCS) 過程が広く見られる。
- ThCSは主にyパラメータ ($y = 4kT_o/m_o c^2 \times 光子散乱回数$) で特徴づけられる yが大なほど、図1(a)のように、ThCSのスペクトルは硬化。
- しかし同じ $y \sim 1.5$ でも図1 (b)と(c)のように、 T_s や光学的厚み τ は大きく異なる場合がある $\Rightarrow y$ 以外にもパラメータが必要では? ٠
- 電子雲の T_c は、イオンからの加熱と軟光子による冷却の釣合いで決まる \to この釣合いを表す温度比 $Q \equiv T_c/T_c$ が、もう一つのパラメータになると着想。

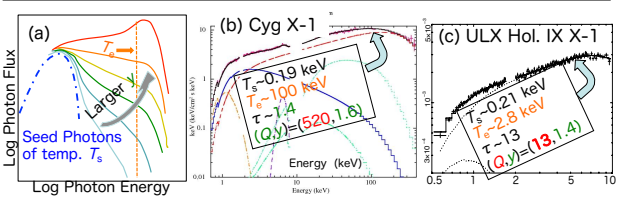


図1:(a) ThCS過程の模式図。(b) 「すざく」で得たBH連星 Cyg X-1 のLow/Hard状態の スペクトル ^[1]。Hard ThCS成分のモデルにはCompPSを使用。(c) 「すざく」によるULX Hol IX X-1のスペクトルを、円盤放射+ThCS (nthCompコード)でフィットしたもの ^[2]。

§2. 考察した天体の種別

主に「すざく」で観測された降着型天体のうち、ThCSの見られる以下の天体を考察した。 xspecにおけるThCSの計算コードとしては、 $T_{\rm e}\!>\!30~{
m keV}$ かつau <3 の場合は高温に適し hCSの計算コードとしては、 $T_{\rm e}$ >30 keV かつ τ <<30 keVでは大きな τ を扱える nthComp を使用。

- (1) Low/Hard状態のBH連星: Cyg X-1¹¹(図1)。軟光子源は円盤を仮定し、0.7-300 keV スペクトルを、「円盤放射+ハードThCS+ソフトThCS+反射」でモデル化。
- (2) Very High状態のBH連星: GX 339-4 [3], XTE J1550-563 [4], GRO J1655-40 [5]。 軟光子源は円盤放射を仮定するが、スペクトルのモデル化は簡単ではない。
- (3) High/Soft状態の LMXB (低質量星とNSの連星): Aql X-1 ^[6,7], MAXI J0556-332 ^[8], および dipping 天体 4U 1916-053 ^[9]。 ほぼ1-30 keV帯域のスペクトルを、 ソフトな円盤放射と、ThCSされた T~10の黒体放射(NS表面からと仮定)で表現 ^[6]。
- (4) Low/Hard状態のLMXB: Aql X-1^[6,7], GS 1826-238 ^[10], 4U 1636-53 ^[11], 4U 1705-44 \square , 4U 1812-12 \square , および2つの dipping 天体 XB 1323-619, EXO 0748-676 \square 。モデルは(3)と同じだが T_c が高く τ が低い。使用帯域は1-100 keV。
- (5) Power-Law型のULX天体: Hol IX X-1 [2] および NGC 1313 X-1 [12,2]。0.5-10 keV スペクトルを、低温 ($T_s\sim0.2$ keV) 円盤とそのThCS ($\tau\sim10$) で表現。
- (6) 円盤放射的な状態のULX天体: NGC 1313 X-1 [12,2] および M33 X-8 [2]。スペクトル は多くの場合 Slim Diskで再現されるが、ここでは(5)と同じモデルを援用。
- (7) I 型Seyfert銀河の soft excess成分: Mkn 509 [13]。 て。~0.02 keV, て。~0.5 keV, $\tau \sim 17$ と、低温で濃密なコロナによるThCS。

§3. 予備的な調査

❖図2(a)は§2 で挙げた全天体につき、 τ とTの相関をとったもの。全体的にy~1 に近く分布することがわかる ❖図2(b)は同様に、yとT_eの相関を示す 何やら規則性がありそうに見えるが、 明瞭ではない。

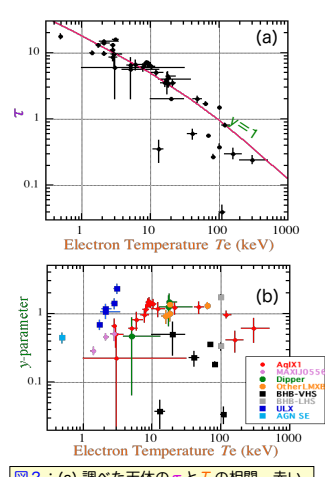
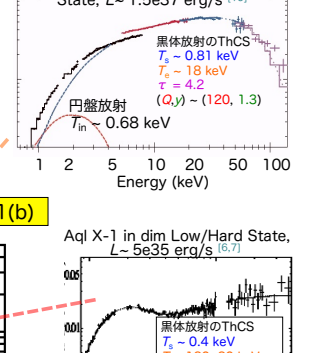


図2:(a) 調べた天体の τ と T_c の相関。赤い 曲線はy=1を示す。(b) 同じくyと T_c の相関。 天体の種別を色で分けてある。

❖そこでQとyの関係をプロットすると図3の結果 §4. (Q, y) ダイアグラム を得た。特記のないデータは「すざく」のもの。★ T_cと T_cが近い場合を含めるため、yパラメータは、 GS 1826-238 in luminous Low/Hard State, *L*~ 1.5e37 erg/s ⁽¹⁰⁾ $y = 4k(T_e - T_s) \tau (1 + \tau/3)/m_e c^2$ として計算。 Dipper 4U1916-053, L~ 6e36 erg/s [9] 黒体放射のThC**3** 1 4 ± 0.1 keV M33 X-1 (ULX) in Disk-like State [2] 円盤放射 円盤放射のThCS ~0.68 keV $(Q,y) \sim (3.7, 0.5)$ 図1(c) 10 20 keV 2 5 $(Q,y) \sim (3.8, 0.7)$ MAXI J0556-332 in High/Soft State 図1(b) 0.5 1 2 ₹Ó keV Swift XRT and RXTE PCA paramter $(Q,y) \sim (3.0, 0.46)$ 円盤放射は 検出できず , 円盤放射 1 T_{in |}~ 0.45 keV AalX1 2 10 Dipper 0.1 Mkn 509 多波長スペクトル [15] BHR-VHS

X線

ULX *GN SE 1000 10 100 $Q = T_e / T_s$ 図3:いろいろな天体のThCS成分を、(Q,y)平面にプロットした 結果。天体の種別の色分けは、図に(b)と同じ。代表的なデータ のットッスペクトルを周辺に示す。スペクトルの縦横比は、ほぼ 一定になるよう調整している。



GX 339-4 Very High State, L=2e38 erg/s, モデルのみ ^[3] 円盤放射のThCS $T_{\rm s} \sim 0.67 \text{ keV}$ $(Q,y) \sim (61, 0.23)$

Energy (keV)

 $(Q,y) \sim (300, 0.96)$

10 20

§5. 考察と結論

新たに導入した (<mark>Q.</mark> y) プロットはひじょうに効果的で、様々な天体におけるThCS過程 を系統的に調べることを可能にしてくれた。

- (1)驚くべきことに10個近いLMXB(丸印)は、Dippersも含めて、ほぼ共通な1つの滑ら かな曲線沿って分布する。すなわち質量降着率を唯一のパラメータとする、one-parameter family である。図2(b)と比べると、Qという物理量の有用さが明らか。
- (2)その曲線上で<mark>Q~7</mark> を境に、右側がLow/Hard状態、左側がHigh/Soft状態である。 すなわち Q化状態の判別指数として絶好。Low/Hard状態の電子雲ではイオンによる 加熱が強く効くのに対し、High/Soft状態ではauが大きく、光子冷却が強い。
- (3) LMXBが2つの状態の間を遷移するさい (Aql X-のデータ点を参照)、プロット上を , 時間的に左右にきわめて短時間で動くが、火の値はほぼ連続的に滑っノロッド上で 水で変なが、火の値はほぼ連続的に滑らかにつながり、 不連続な飛びを示さない。「1次の相転移」(状態変数が温度の関数として不連続に 飛ぶ)ではなく「2次の相転移」(状態変数の温度微分が不連続になる)と言えるかも。
- (4) 円盤をほぼ真横から見ているDipperと、それ以外のLMXBの間には、コロナの異方性を反映した違いが期待されるが、まだ計測誤差が大きく、有意な結論は出せない。
- (5) LMXBに比べ、BH天体 (BH連星、ULX、AGNのsoft excess) は、明らかに2次元 に散らばる。これは質量降着率(および傾斜角)に加え、BH質量や、降着物質の放射効率など、独立なパラメータがあるためであろう。LMXBでは、ジェットやアウトフローを無視すれば、放射効率はつねに~1 である。
- (6)Very High StateのBH連星とPL型のULXは、ともに10<Q<100という、中間的な ○ の領域に現れる。両者の間に関係があるかもしれない[14]。

§6. 今後の課題と展望

- (1) 図3に載せる天体の例数を増やすこと。(2) 熱的コンプトンの計算コードによる結果の違いを慎重に検討すること。
- (3) Dipping LMXBのデータをより精密に解析し、通常LMXBとの差異を探すこと。 (4) Aql X-1 の状態遷移中の貴重な「すざく」データ⁽¹⁵⁾を、詳しく調べること。 (5) Very High StateのBH連星のデータは、スペクトルのモデルを吟味すること。
- (6) 理論の専門家の協力を得て、理論的な解釈を展開すること。
- (7) ASTRO-H に向けての戦略を練ること。

【締女字参】

- 1] (Cyg X-1) Makishima, K., Takahashi, H., Yamada, S., Done, C. *et al., PASJ* **60**, 585 (2008). [2] (ULX) 小林翔街ほか、日本天文学会 2013春160a, 同2014秋 J147a; paper in preparation. 3] (GX339-4) Tamura, M., Kubota, A., Yamada, S., Done, C. *et al.*, *AyJ* **753, ki 65** (2012). [4] (XTE J1550-563) Kuboga, A. & Makishima, K. *AyJ* **601**. 428 (2004).
- [5] (GRO J1655-40) Kobayashi, M., Kubota, A., Nakazawak K. et al. PASJ 55, 273 (2003).
- [3] (din/3 1033-947) (housyasin, wii., housed, ..., heahazawan N. et al., PASJ **64**, id 72 (2012). [7] (Aql X-1 Paper2) Sakurai, S., Yamada, S., Torii, S., Noda, H. et all. PASJ **64**, id 72 (2012). [7] (Aql X-1 Paper2) Sakurai, S., Torii, S., Noda, H., Zhang, Z., Ono, K., et al. PASJ in press (2018) (MAXI J0556-332) Sugizaki, M., Yamaoka, K., Matsuoka, et al. PASJ 65, id 58 (2013). [9] (dippers) Z. Zhongli [計分. 日本天文学会 2013秋J119a; paper in preparation.

- [10] (GS 1826-238) 小野光ほか、日本天文学会 2013秋以117a; paper in preparation.
 [11] (Other LMXBs) 櫻井壮希による、今回の発表のための解析結果。
 [12] (NGC 1313 X1) 小林翔悟による、今回の発表のための解析結果。
- [12] (MkG 1313 XI) 小林邦徳による、今回の発表のための解析語楽。 [13] (Mkn 509) Noda, M., Makishima, K., Yamada, S., Tori, S. et al. PASJ **63**、SP3, S925 (2011). および Mehdipour, M., Branduardi-Raymont, G., Kaastra, J. S. et al. A&A **534**, id.A39 (2011). [14] (ULXとVHS) Makishima, K., in "Black Holes from Stars to Galaxies Across the Range of Masses", Ed. V. Karsa and G. Matt. Proc. IAU Symposium #238, Cambridge University Press, pp. 209 (2007). [15] (Aql X-1 transition) Pl山岡和貴氏の「すざく」公開データを、櫻井壮希がクイックに解析した結果。